

# Lab manual: Fiber-optic quantum key distribution system

Mikhail Petrov, Vadim Makarov, Daniil Trefilov, Tatiana Kazieva, and Vadim Rodimin  
(Dated: May 16, 2023)

## I. OBJECTIVES

This lab exercise will introduce you into practical problems that engineers of quantum communication systems face and show you some of the methods they use to make the systems work. You will play with an industrial implementation of a quantum key distribution (QKD) system, in all its ugliness and cleverness.

## II. PREREQUISITES

You need to know how a so-called plug-and-play implementation of BB84 QKD works, which you may remember from the lectures. For further details, please read the enclosed Russian-language manual that describes the system and program of the experiment.

### A. Home task

You must complete this research task before we can admit you to the experiment. Please complete at home and show to the teacher.

- In optical fiber, propagation time of a light pulse depends on the temperature of the fiber. Estimate theoretically or find in the literature the change of delay in a piece of fiber one kilometer long (nominally at room temperature) per one degree of temperature change. Detail your calculation or cite the sources.

### B. Questions for preparation

- Explain the principle of operation and features of the two-pass auto-compensating (or plug-and-play) QKD scheme.
- What does the circulator in Bob do?
- In a standard QKD scheme, Alice generates photons and sends them to Bob. In the plug-and-play scheme, light originates in Bob, travels to Alice as bright pulses, gets reflected, and travels back to Bob. This sounds like an unnecessary complication, but there are good reasons for this scheme. Name at least two technical difficulties that this particular arrangement solves neatly.
- Why is a long storage line in Alice needed?
- In Sec. 4.2 of the Russian-language manual, you will need to determine the half-wave voltage of the phase modulator from an experimentally measured curve. Given the sample curve shown in Fig. 9, how will you determine this voltage?
- The scheme usually contains two long fiber lines: the quantum channel and the storage line in Alice. If the delay in either changes too much since the last calibration, the secret key rate may drop. Explain how changing the temperature of either line can lead to a drop in the secret key rate.

## III. EQUIPMENT

In this lab exercise, the QKD system hardware manufactured by QRate has been pre-assembled. Your only actions will be operating the software in Alice's and Bob's computers.

Alice and Bob are connected with 25.2 km long single-mode fiber in a spool. The storage line inside Alice is about 26.0 km long.

The fiber spool that constitutes the quantum channel between Alice and Bob is placed in a water tank with a thermometer. This allows you to quickly change its temperature by adding hot water from a kettle into the tank.

## IV. WORKFLOW

The workflow closely follows the instructions given in Sec. 4 of the Russian-language manual, with a few additional tasks as given below.

### 1. Determine the time of light pulse's arrival at Bob's single-photon detector (Sec. 4.1)

*Lab report should contain:*

- Calculation of the rough train period at Bob's single-photon detector (for a train containing one pulse).
- The experimentally determined exact value of the arrival clock cycle at Bob's single-photon detector.
- A screenshot of Bob's monitor with the results of 'rqcBob Channel Test' in a wide time range (from 0 to the expected arrival clock cycle).
- Ditto in a narrower time range close to the expected arrival clock cycle.

### 2. Setting the voltage at Bob's phase modulator (Sec. 4.2)

Additional task: Determine the half-wave voltage (i.e., one that induces a  $\pi$  phase shift) of Bob's phase modulator. One least-significant-bit step of the driver's digital-to-analog (DAC) converter in Bob is 37.7 mV. Compare your measured value with the value specified in the data sheet of the phase modulator (iXblue MPX-LN-0.1) used in Bob's setup.

*Lab report should contain:*

- The measured value of half-wave voltage, in DAC steps and in volts.
- A screenshot of Bob's monitor with the results of 'rqcBob Mod Level Test'.

### 3. Fine-tuning the single-photon detector's window (Sec. 4.3)

One step of the fine-tuning parameter equals 5 ns shift in the detector window position.

*Lab report should contain:*

- Exact value of the single-photon detector's window.
- An explanation of why this setting is needed.
- A screenshot of Bob's monitor with the results of 'rqcBob Window Test'.

### 4. Setting the delay of Alice's phase modulator pulse (Sec. 4.4)

*Lab report should contain:*

- An explanation of what delay we are measuring here. What are the events separated by this delay?
- The measured delay value.
- A screenshot of Bob's monitor with 'rqcBob Alice Delay Line Test' configured for your measurement.
- A screenshot of Alice's monitor with the results of 'rqcAlice Delay Line Test'.
- An explanation of how this measurement works and of the data collected in 'rqcAlice Delay Line Test'.

### 5. Setting the voltage at Alice's phase modulator (Sec. 4.5)

Additional task: Determine the half-wave voltage (i.e., one that induces a  $\pi$  phase shift) of Alice's phase modulator. One least-significant-bit step of the driver's digital-to-analog (DAC) converter in Alice is 42.4 mV. Compare your measured value with the value specified in the data sheet (Thorlabs L N53S-FC) of the phase modulator used in Alice's setup.

*Lab report should contain:*

- The measured value of half-wave voltage, in DAC steps and in volts.
- A screenshot of Bob's monitor with 'rqcBob Alice PM Level Test' configured for your measurement.
- A screenshot of Alice's monitor with the results of 'rqcAlice PM Level Test'.

## 6. Key generation (Sec. 4.6)

This is the most interesting and difficult final item.

Additional tasks:

- Determine the minimum, maximum, and average quantum bit error rate (QBER) and sifted key generation rate in a time interval of 100 s.
- Test how sensitive key generation is to each of the parameters measured in the previous steps (Secs. 4.1–4.5). Consider that the system definitely loses its ability to generate secret key if QBER exceeds 11%. Assume that it's unacceptable to have a drop in the sifted key generation rate by a factor of 2 or more owing to parameter misalignment. Experimentally determine the range in which you can deviate each parameter (i.e., change from its optimum value) without violating at least one of the above two conditions.
- Explain why the QBER rises when the half-wave voltage is set incorrectly. What mathematical function of the deviation is it?
- Based on your measurements, theoretically estimate a temperature change of the storage line that would bring the system out of alignment.
- Based on your measurements, theoretically estimate a temperature change of the quantum channel that would bring the system out of alignment.

*Lab report should contain:*

- *Minimum, maximum, and average quantum bit error rate (QBER) and sifted key generation rate observed in a time interval of 100 s.*
- *Maximum deviations of the parameters defined in Secs. 4.1–4.5 under which the QKD system remains functional.*
- *A screenshot of Bob's monitor with the results of 'rqcBob Key Distribution'.*
- *A screenshot of Alice's monitor with the results of 'rqcAlice Key Distribution'.*
- *Explanation of the effect that incorrect setting of the half-wave voltages has on QBER. Give the expected form of the function.*
- *Discussion and estimates of temperature change that would bring the system out of alignment. Which system setting is the most sensitive to temperature?*

## 7. Experimental verification of temperature sensitivity

Using the water tank, kettle, and thermometer, demonstrate that the system goes out of alignment when the temperature of the quantum channel changes. Compare the system reaction to the changing temperature with the quantitative prediction you have made in the previous task. Does the experiment agree with your prediction?

After you raise the water temperature and stir the water lightly to make it uniformly warm, it may take about an hour for the internal temperature of the submerged fiber spool to equalise (as it takes time for the heat to conduct through the thickness of the spool). How can you check that the thermal equilibrium has been reached?

Measure the new round-trip delay and calculate the temperature coefficient of the delay in fiber. Compare it with your earlier theoretical estimate.

*Lab report should contain:*

- *Discussion of the results of the temperature change experiment.*
- *A screenshot of the monitor window that shows your delay measurement.*
- *Experimentally measured temperature coefficient of delay in fiber, in  $\text{ps} \cdot \text{km}^{-1} \text{K}^{-1}$ .*

## V. FINAL REMARKS

As you have probably realised by now, this demonstration system does not generate secret key. I.e., it only gives you sifted key and measures QBER. Further post-processing steps of error correction, privacy amplifications, and authentication are not implemented. A complete QKD system may have similar hardware but needs additional software code to implement the complete post-processing. Also, all the alignment routines you have been performing manually here can be fully automated. Indeed, the first commercial QKD system made by Swiss company ID Quantique in 2004 had the same architecture as the system you have studied in this exercise, and made similar adjustments automatically during its operation.

**ЛАБОРАТОРНЫЙ ПРАКТИКУМ  
ПО КВАНТОВОЙ ОПТИКЕ**

**Лабораторная работа № 4**

**ИССЛЕДОВАНИЕ КВАНТОВОГО РАСПРЕДЕЛЕНИЯ КЛЮЧА**

## Содержание

1 Общие положения .....	4
1.1 Квантовое распределение ключа.....	4
1.2 Схема распределения квантового ключа на основе интерферометра Маха-Цендера .....	9
2 Техника безопасности при работе с лазерными источниками излучения.....	12
3. Описание лабораторной установки.....	13
3.1 Двухпроходная автокомпенсационная схема Plug&Play .....	13
3.2 Ослабление лазерных импульсов .....	18
3.3 Возможность использования одного детектора одиночных фотонов .....	20
4. Порядок проведения эксперимента .....	22
4.1 Настройка времени ожидаемого прихода импульсов на детекторы одиночных фотонов Боба .....	22
4.2 Настройка напряжения на фазовом модуляторе Боба .....	27
4.3 Точная настройка временного окна детектора одиночных фотонов.....	29
4.4 Настройка величины задержки приложения напряжения на фазовый модулятор Алисы .....	31
4.5 Настройка напряжения на фазовом модуляторе Алисы.....	35
4.6 Запуск генерации квантового ключа .....	39
5 Контрольные вопросы и задания .....	44
Литература.....	46
Лист регистрации изменений.....	47

**Цель работы** – на практике ознакомиться с протоколом распределения квантовых ключей BB84 и его реализацией с использованием двухпроходной автокомпенсационной схемы Plug&Play, в том числе, с использованием одного детектора одиночных фотонов.

---

**Приобретаемые компетенции** – обучаемые приобретают навыки работы со сложной оптико-электронной системой, осуществляющей квантовое распределение ключей, исследуют характеристики, влияющие на их распределение.

---

**В работе используется:** оптическое одномодовое волокно, коннекторы, лазерный модуль, постоянный и переменный оптические аттенюаторы, циркулятор, светоделители, детекторы одиночных фотонов, фазовые модуляторы, линии задержки и хранения, поляризационный светоделитель, синхронизирующий детектор, зеркало Фарадея.

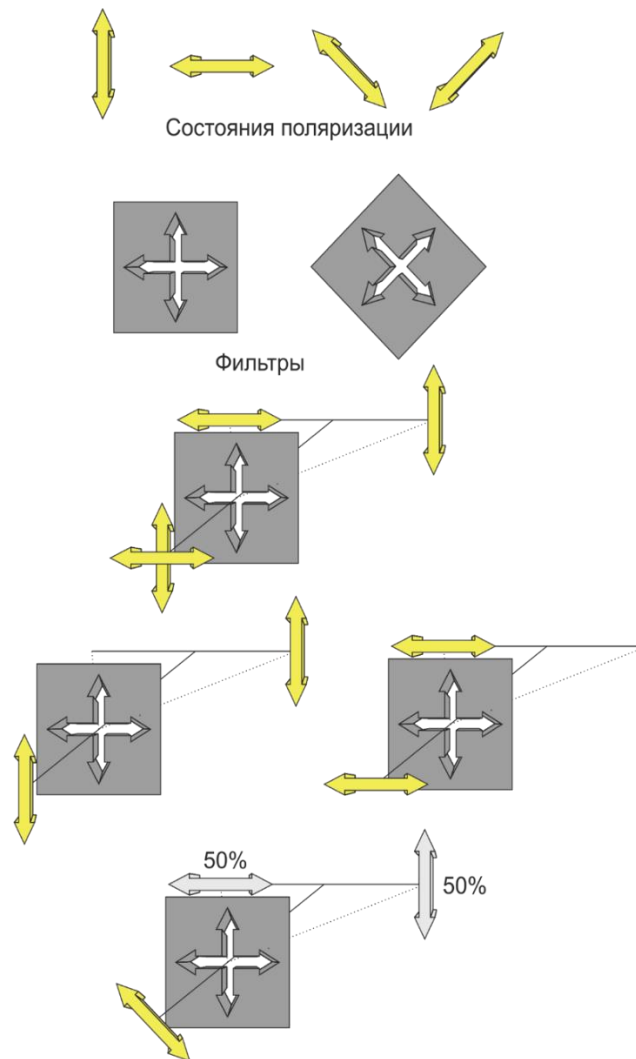
## 1 Общие положения

### 1.1 Квантовое распределение ключа

Квантовое распределение ключа — метод передачи ключа, который использует квантовые явления для гарантии безопасной связи. Этот метод позволяет двум сторонам, соединенным по открытому каналу связи, создать общий случайный ключ, который известен только им, и использовать его для шифрования и расшифрования сообщений.

Используя факт существования неизмеримых одновременно величин (квантовый индетерминизм) и состояние суперпозиции, можно осуществлять закрытую передачу данных [1]. Пусть из пункта А в пункт Б требуется передать конфиденциальные данные. В криптографии этому процессу придают некоторую одушевленность, называя передатчик информации Алисой, а приемник – Бобом. Для шифрования данных нужно чтобы и у Алисы, и у Боба были одинаковые ключи, так чтобы при помощи одного из них можно было бы зашифровать данные, а при помощи другого – расшифровать. Проблема в том, как передать ключ от Алисы к Бобу. Если бы был надежный, защищенный от перехвата, способ передачи ключа (в криптографической терминологии – способ распределения ключа), то и не было бы необходимости шифровать данные, их можно было бы передать тем же способом. В данном случае ключ – это просто тоже некоторое количество никому не известной, кроме Алисы и Боба, информации.

Будем рассматривать линейную поляризацию фотона в двумерном гильбертовом пространстве: для того, чтобы задать направление поляризации нам нужна ось, чтобы выделить направление в пространстве и привязать к ней базис. Рассмотрение поляризации в вертикально-горизонтальном базисе будем обозначать значком  $\oplus$ , в диагональном-антидиагональном –  $\otimes$ . Если фотон поляризован вертикально, т.е. находится в состоянии, описываемом вектором  $|\updownarrow\rangle$ , и мы проводим измерение в базисе  $\otimes$ , то вероятность обнаружить фотон в состоянии  $|\nearrow\rangle$  будет равна вероятности обнаружить фотон в состоянии  $|\searrow\rangle$ , равна 0,5. На рисунке 1 представлено измерение поляризации фотонов в различных базисах как пропускание через фильтр.



**Рисунок 1** Измерение поляризации фотонов в различных базисах как пропускание через фильтр

Математически это выражается следующим образом:

$$\begin{aligned}
 |\updownarrow\rangle &= \frac{1}{\sqrt{2}}|\swarrow\rangle + \frac{1}{\sqrt{2}}|\searrow\rangle \\
 |\leftrightarrow\rangle &= \frac{1}{\sqrt{2}}|\swarrow\rangle - \frac{1}{\sqrt{2}}|\searrow\rangle
 \end{aligned}
 \tag{1}$$

Это означает, что состояние  $|\updownarrow\rangle$  состоит из суперпозиции состояний  $|\swarrow\rangle$  и  $|\searrow\rangle$ , причем вероятность обнаружить фотон в состоянии  $|\swarrow\rangle$  или  $|\searrow\rangle$  равна квадрату множителя (в данном случае  $\frac{1}{\sqrt{2}}$ ) соответствующего состояния. То же

касается и состояния  $|\leftrightarrow\rangle$ . Здесь знак минус возникает из необходимости некоторого математического согласования, а именно из требования ортогональности. Положение знака минус в этой системе уравнений зависит от выбора направления координатных осей в базисах и выбора направления поворота одного базиса относительно другого. В нашем случае это не играет существенной роли.

Если измерить поляризацию фотона в базисе с неопределенной поляризацией, то в этом базисе она станет определенной, а в другом базисе – перестанет быть определенной.

Алиса, посылая Бобу фотон, должна выбрать базис поляризации. Ограничим этот выбор двумя базисами: Алиса может поляризовать фотон в базисе  $\oplus$  (говорят «фотон, приготовленный в базисе  $\oplus$ ») или в базисе  $\otimes$ . Боб не знает в каком базисе фотон был приготовлен, а Алиса выбирает базисы приготовления случайно. Теперь Боб может провести измерения поляризации фотона как в  $\oplus$ , так и в  $\otimes$  базисе. Базис измерения Боб тоже выбирает случайно. Если базисы приготовления и измерения поляризации случайно совпадут, то и у Алисы, и у Боба будет одинаковая информация о поляризации фотона. Если Боб случайно выберет для измерения другой базис, не тот в котором фотон приготовила Алиса, то результат измерения поляризации будет случайным и не несущим информацию. Договариваемся, что состоянию  $|\updownarrow\rangle$  будет соответствовать логическая 1, состоянию  $|\leftrightarrow\rangle$  – логический 0, также и для состояний  $|\nearrow\rangle$  и  $|\searrow\rangle$  – 1 и 0. Таким образом, Алиса пересылает Бобу серию фотонов. Потом они по открытому каналу сверяют базисы и выбрасывают все те измерения, которые были проделаны в базисах, не совпадающих с базисами приготовления. Таким образом, у Алисы и у Боба должны быть одинаковые последовательности битов, при этом они секретные: результаты своих измерений Боб, разумеется, не сообщает. Этот метод в известной степени бесполезен для передачи информации: Алиса не знает заранее какие биты из последовательности будут выброшены, но он отлично подходит для передачи случайной битовой последовательности, которую можно

будет использовать для шифрования данных. Таким образом можно осуществлять квантовое распределение ключа.

Практическая реализация квантового распределения ключа с поляризационным кодированием может быть осуществлена с использованием устройства, которое управляемо поворачивает поляризацию (ячейка Погкельса) и поляризационного светоделителя PBS [2]. При помощи ячейки Погкельса Боб может осуществлять выбор между базисами  $\oplus$  и  $\otimes$ , подавая на ячейку соответствующий электрический сигнал. Далее оптический сигнал разделяется поляризационным светоделителем на две взаимно ортогональных поляризационных составляющих, каждая из которых приходит на свой детектор. Если базис, выбранный Бобом, совпадает с базисом Алисы, то должен сработать детектор, соответствующий поляризации светового импульса, номер детектора определит значение бита полученной информации. Если базис был выбран неправильно, то случайным образом сработает один из детекторов. Конечно, если в импульсе не один фотон, а больше, то может сработать два детектора. Собственно, мы даже можем судить по тому, сколько детекторов сработало, правильно или неправильно мы выбрали базис измерения. Но нам нельзя знать заранее насколько правильно мы выбрали базис (точнее не нам нельзя, а потенциальному противнику нельзя дать возможность определить правильность выбора базиса измерения), и для этого нам обязательно нужны однофотонные импульсы.

Теперь введем третий персонаж, который будет подслушивать закрытый канал, традиционно это Ева, от английского eavesdropper – подслушивающий. Точно так же, как и Боб, Ева может измерить поляризацию фотона, но также, как и Боб она не знает в каком базисе он был приготовлен. После измерения фотона Ева пересылает его дальше Бобу (ей же нельзя себя обнаружить). Однако, если она выбирает для измерения не тот базис, в котором фотон приготовила Алиса, то она меняет базис приготовления фотона и, таким образом, в ключ Боба закрадываются ошибки. Правильнее так: количество ошибок в ключе Боба возрастает, потому что когда передача идет на однофотонном уровне, то ошибки возникают неизбежно. У Евы с Бобом базисы различаются – и тот и другой выбирают их случайным образом. Таким образом, у Евы получается меньше полезной информации, чем у

Боба. Ключевым моментом здесь является то обстоятельство, что Еву можно обнаружить по возрастанию количества ошибок в ключе Боба. Пожалуй, это и есть самое важное свойство квантовой криптографии – Ева не может скрыть своего присутствия.

Схематично процедуру квантового распределения ключа можно свести к таблице 1:

Таблица 1

1. Базис Алисы	$\otimes$	$\oplus$	$\oplus$	$\otimes$	$\oplus$	$\otimes$	$\otimes$	$\oplus$	$\otimes$	$\otimes$	$\oplus$
Значение бита Алисы	1	0	1	0	0	1	0	1	1	1	1
Алиса посылает	$ \nearrow\rangle$	$ \leftrightarrow\rangle$	$ \downarrow\rangle$	$ \nwarrow\rangle$	$ \leftrightarrow\rangle$	$ \nearrow\rangle$	$ \nwarrow\rangle$	$ \downarrow\rangle$	$ \nearrow\rangle$	$ \nearrow\rangle$	$ \downarrow\rangle$
2. Базис Боба	$\otimes$	$\oplus$	$\otimes$	$\oplus$	$\oplus$	$\otimes$	$\otimes$	$\otimes$	$\oplus$	$\oplus$	$\oplus$
Значение бита Боба	1	0	0	0	0	1	0	1	0	1	1
3. Тот же базис?	да	да	нет	нет	да	да	да	нет	нет	нет	да
Ключ Алисы	1	0			0	1	0				1
Ключ Боба	1	0			0	1	0				1

Упрощённый алгоритм – протокол распределения квантового ключа – можно представить следующим образом:

1. Алиса случайным образом выбирает базис и поляризацию своих однофотонных импульсов и посылает их Бобу.

2. Для каждого импульса Боб также случайным образом выбирает базис, в котором он измеряет поляризацию импульса. Он либо получает значение бита 0 или 1, либо ничего не регистрирует из-за потерь связи при детектировании. Последовательность всех полученных битов называется сырым ключом.

3. Боб использует открытый канал (например, Интернет), чтобы сообщить Алисе номера измерений, в которых было срабатывание одного детектора и каком базисе проводились эти измерения. При этом Боб не сообщает результат измерения. В тех случаях, когда Алиса и Боб использовали один и тот же базис  $\oplus$  или  $\otimes$ , они должны получить одинаковые биты. Последовательность этих битов называется просеянным ключом. При этом, из-за несовершенства процесса

измерения и из-за потенциального подслушивания, возникнет некоторое количество ошибок.

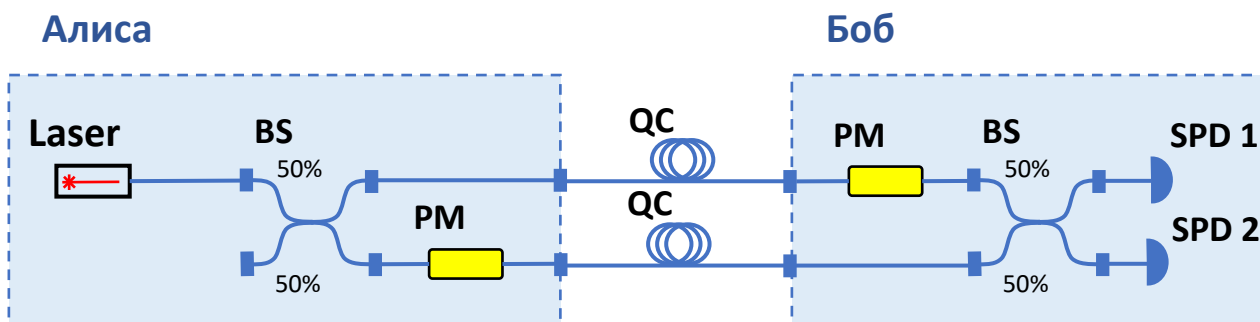
4. Чтобы преобразовать свои частично испорченные, и, возможно, не вполне секретные строки в пригодный к использованию ключ, Алисе и Бобу теперь нужна некоторая обработка. Это выходит за рамки данной лабораторной работы, но, для общего ознакомления, основные шаги таковы: оценить уровень ошибок при передаче; сделать предположение о максимальном количестве информации, которая могла утечь из-за подслушивания; и затем скорректировать все ошибки, в то же время уменьшая количество информации, потенциально доступное Еве, до требуемого уровня. Оставшиеся биты и есть криптографический ключ.

Описанный протокол распределения квантового ключа называется BB84, его изобрели Чарльз Беннет и Жилье Brassard, соответственно, в 1984 году [3]. Протокол нашел свое первое практическое воплощение как раз с использованием поляризованных фотонов. Однако, использование именно этой схемы кодирования, поляризационной схемы, не очень удобно для передачи сигнала по оптоволоконным линиям связи – оно затруднено деполяризациями и флуктуациями двулучепреломления. Гораздо удобнее осуществлять распределение квантового ключа с использованием фазового кодирования.

## 1.2 Схема распределения квантового ключа на основе интерферометра Маха-Цендера

В описанном выше поляризационном способе кодирования битов информации значение бита определяется поляризацией фотона: поляризован ли он по оси X или Y, ось Y повернута относительно оси X на  $\pi/2$ , и чтобы индетерминизм работал на нас, мы рассматриваем это в двух максимально ортогональных базисах, один из которых повернут относительно другого на  $\pi/4$ . С идейной точки зрения, фазовое кодирование аналогично поляризационному. Только рассматривается не поворот плоскости поляризации, а сдвиг импульса по фазе. Здесь тоже есть два базиса, но один из базисов сдвинут на  $\pi/2$

относительно другого, а базисные оси отстоят друг от друга по фазе на  $\pi$ . В этой схеме оптический сигнал раскладывается на два импульса, которые потом сходятся вместе и интерферируют. Фазовое кодирование реализуется с использованием интерферометра Маха-Цендера, упрощённо представленного на рисунке 2. И у Алисы и у Боба есть фазовый модулятор. Алиса при помощи фазового модулятора создает разность фаз между импульсами. При соответствующей калибровке интерферометра (по длине оптических линий), если разность фаз между импульсами равна 0, то на детекторе SPD 1 создается конструктивная интерференция – интерференционный максимум, что соответствует значению бита 0. При этом на детекторе SPD 2 реализуется интерференционный минимум – деструктивная интерференция.



**Рисунок 2** Схема реализации фазового кодирования в интерферометре Маха-Цендера

Если Алиса создает фазовый сдвиг равный  $\pi$ , то на детекторе SPD 1 будет деструктивная интерференция, а на детекторе SPD 2 – конструктивная, и это будет соответствовать значению бита 1. Т.е., в зависимости от сдвига фазы, у Боба будет срабатывать либо детектор SPD 1 либо детектор SPD 2, что будет означать либо получение бита 0 или 1.

Теперь надо добавить еще один базис, чтобы сделать передачу ключа секретной. Это обеспечивается введением со стороны Алисы еще двух фазовых сдвигов:  $\pi/2$  и  $3\pi/2$ . Получается, что фазовые сдвиги 0 и  $\pi$  соответствуют одному базису, для определенности, базису  $\oplus$ , а сдвиги  $\pi/2$  и  $3\pi/2$  соответствуют базису  $\otimes$ . Боб, в свою очередь, может решать в каком базисе проводить измерения.

Если измерять интерференцию импульсов как они пришли, то это будет измерение в базисе  $\oplus$ , а если сдвинуть по фазе один из импульсов на  $\pi/2$ , то это будет измерение в базисе  $\otimes$ . Разумеется, и Боб и Алиса выбирают базис измерения и базис приготовления совершенно случайно. Таким образом, сохраняется вся последовательность действий протокола BB84, представленная в таблице 1.

Надо сказать, что описанная схема распределения ключа, в том виде, как она представлена, так же неудобна в использовании, поскольку очень чувствительна к изменению длин всех оптических линий. Например, малейшее изменение температуры одной из линий QC меняет параметры интерферометра и там, где был интерференционный минимум, может внезапно стать интерференционный максимум и наоборот. Поэтому в лабораторной работе будет использоваться усовершенствованный вариант схемы, который представлен ниже.

## 2 Техника безопасности при работе с лазерными источниками излучения

При выполнении лабораторных работ, связанных с использованием когерентных лазерных источников излучения, необходимо соблюдать следующие правила техники безопасности:

1. Не смотреть в выходной порт источника, на торцы коннекторов патч-кордов или оптических адаптеров.
2. Контроль чистоты и исправности оптического коннектора или адаптера допускается только при отсутствии в волокне излучения.
3. Для определения активности оптического волокна необходимо использовать измеритель оптической мощности или специальный индикатор излучения.



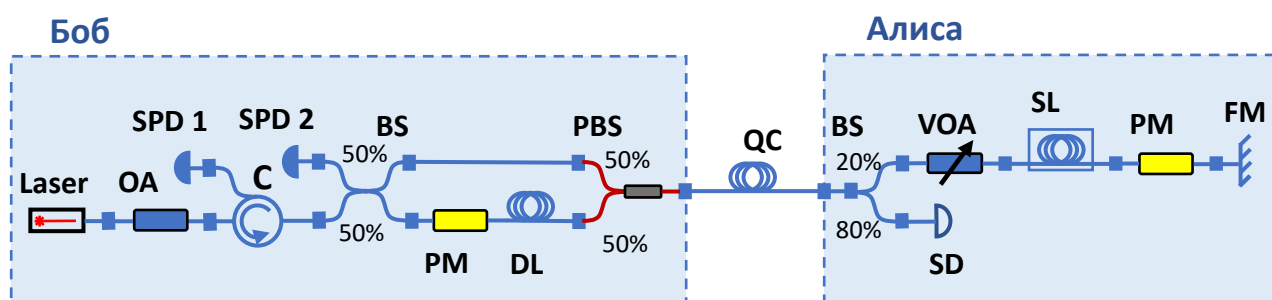
**Внимание!** Лазерное излучение, используемое в телекоммуникационных системных и измерительных приборах, невозможно обнаружить визуально!

### 3. Описание лабораторной установки

Лабораторная работа выполняется с использованием Установки академической модульной квантовой оптики EMQOS 1.0. Исследуемая оптическая схема реализуется на оптических столиках блоков посредством оптоэлектронных компонентов из комплекта поставки.

#### 3.1 Двухпроходная автокомпенсационная схема Plug&Play

На рисунке 3 представлена исследуемая двухпроходная автокомпенсационная оптическая схема Plug&Play, наиболее удобная с точки зрения простоты настройки параметров для распределения квантового ключа.



**Рисунок 3** Автокомпенсационная двухпроходная схема квантового распределения ключа “Plug&play”

На схеме обозначены:

Laser – лазерный модуль;

OA – optical attenuator – оптический аттенюатор;

C – circulator – оптический циркулятор;

SPD – single photon detector – детектор одиночных фотонов;

SD – synchro detector – синхронизирующий детектор;

BS – beam splitter – неполяризационный светоделитель;

PBS – polarizing beam splitter – поляризационный светоделитель;

PM – phase modulator – фазовый модулятор;

DL – delay line – линия задержки;

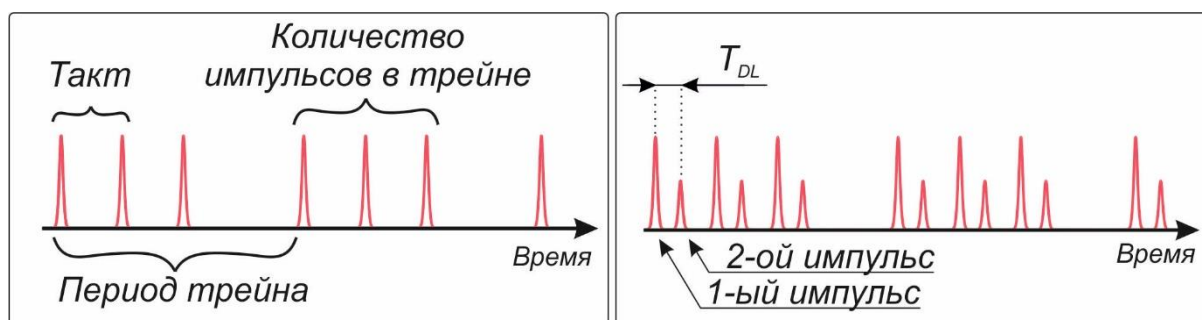
VOA – variable optical attenuator – переменный оптический аттенюатор;

SL – storage line – линия хранения;

QC – quantum channel – квантовый канал.

Рассмотрим алгоритм распределения квантового ключа и последовательность событий, происходящих с оптическими импульсами в схеме Plug&Play.

1. Лазерный модуль, расположенный в блоке Боба, генерирует последовательность одинаковых многофотонных оптических импульсов, которую мы будем называть трейном. В нашем случае длина волны оптических импульсов  $\lambda = 1550$  нм, импульсы линейно поляризованы. Частота следования лазерных импульсов – это одна из основных характеристик квантового распределения ключа. Обозначим эту величину как  $\nu_0$ , соответствующий ей период –  $T_0$ , эти промежутки времени мы будем называть тактами. В трейне  $n$  импульсов и трейны следуют с периодом  $T_t$  – период трейна. Всего за сеанс формируется пакет из  $N$  трейнов. Промежуток между трейнами такой, что трейн успевает пройти расстояние от Боба до Алисы и обратно, и только после этого запускается следующий. О факторах, ограничивающих в данной оптической схеме частоту  $\nu_0$  и количество импульсов в трейне, будет сказано ниже. Схема распространения импульсов представлена на рисунке 4.



**Рисунок 4** Схема распространения импульсов на выходе из лазерного модуля и на выходе из поляризационного светоделителя

2. Блок Боба собран из волокна, сохраняющего поляризацию (PM-волокно). Трейн лазерных импульсов попадает на циркулятор (С), который направляет лазерное излучение на светоделитель. В результате прохождения светоделителя

каждый импульс разделяется пополам и направляется в соответствующие плечи интерферометра.

3. В одном из плечей интерферометра расположена линия задержки (DL) и фазовый модулятор (PM), поэтому на поляризационный светоделитель импульсы, прошедшие через это плечо, приходят позже, следовательно, на выходе из поляризационного светоделителя получается в 2 раза больше импульсов, чем в первоначальном трейне (рисунок 4). Время запаздывания определяется формулой:

$$t_{DL} = \frac{n_0 \Delta l}{c_0}, \quad (2)$$

где  $\Delta l$  – длина линии задержки,  $n_0 \approx 1.47$  коэффициент преломления,  $c_0$  – скорость света. На практике удобно использовать вытекающее из этой формулы соотношение: за 5 нс световой импульс проходит 1 м оптоволокна. Из-за описанного смещения импульсы удобно рассматривать парами. Импульсы, преодолевшие большее плечо, имеют меньшую интенсивность из-за потерь, возникающих в линии задержки и фазовом модуляторе. Отметим, что импульсы, выходящие из поляризационного светоделителя Боба (PBS), линейно поляризованы, причем их поляризация попарно ортогональна (за счёт смещения фазы на первом, неполяризационном светоделителе). Дальше трейн покидает Боба и через квантовый канал (QC) направляется к Алисе. Фазовый модулятор в длинном плече интерферометра Боба при прохождении импульсов в сторону Алисы не задействуется.

4. Приходя на оптическую схему Алисы, лазерные импульсы делятся на две неравные части: бóльшая часть оптической мощности идет на синхронизирующий детектор (SD), а меньшая часть используется дальше для обработки. Вся оптическая схема Алисы, как, впрочем, и квантовый канал, состоит из неподдерживающего поляризацию одномодового оптоволокна.

5. Синхродетектор SD служит для синхронизации всех быстрых процессов, в нашем случае – фазовой модуляции. Синхродетектор обозначает время прихода лазерных импульсов на оптическую схему Алисы. Теперь можно вовремя подать электрические сигналы на фазовый (PM) и амплитудный (VOA) модуляторы Алисы – с соответствующей задержкой.

6. До фазового модулятора Алисы импульсы еще должны пройти накопительную линию (SL). Накопительная линия служит для того, чтобы вместить в себя все импульсы трейна. Собственно, длина накопительной линии и определяет количество импульсов в трейне, поэтому накопительная линия длинная – десятки километров. При движении трейна от Боба к Алисе неизбежно возникают множественные отражения на оптических неоднородностях, в основном на оптических разъемах. Эти отражения идут обратно к Бобу, и могут вызвать ложные срабатывания детекторов, информативным же является только сигнал, полученный при отражении трейна от зеркала Фарадея. Следовательно, для защиты от ложных срабатываний необходимо разделить по времени паразитные отражения и отражение от зеркала Фарадея, при этом не должно быть наложения, например, отражений от хвостовых импульсов трейна и уже возвращающихся обратно головных импульсов трейна. Для этого и служит накопительная линия, причем трейн может быть до 2 раз длиннее накопительной линии:

$$nT_0 \leq 2 \frac{n_0 L_{SL}}{c_0}, \quad (3)$$

где  $L_{SL}$  – длина накопительной линии. При расчете количества импульсов в трейне необходимо округлять число импульсов в меньшую сторону. Период трейна ограничен снизу длиной квантового канала + накопительная линия. Это ограничение накладывается по той же причине: не должно быть наложения импульсов идущих туда и обратно. Т.е. необходимо дождаться последнего импульса в трейне и только потом посылать новый. При расчете периода трейна необходимо округлять значения в большую сторону.

7. Между накопительной линией и зеркалом Фарадея на один из импульсов каждой пары накладывается фазовый сдвиг фазовым модулятором Алисы, далее отраженные зеркалом Фарадея импульсы возвращаются обратно в накопительную линию. Отражаясь от зеркала Фарадея, лазерный импульс меняет свою поляризацию на ортогональную. Следует отметить, что фазовый сдвиг необходимо накладывать только на один импульс в паре, но при этом этот сдвиг должен накладываться на пути следования и туда, и обратно. Это диктуется особенностями работы фазового модулятора: дело в том, что фазовый модулятор сдвигает только

одну компоненту поляризации, а состояние поляризации у лазерных импульсов может быть непредсказуемым, поскольку они прошли по квантовому каналу, претерпели различные поляризационные искажения, и не известно какое состояние поляризации заходит в фазовый модулятор. Но после отражения от зеркала Фарадея поляризация меняется на ортогональную, и если фазовый модулятор сдвинул одну компоненту поляризации в своем базисе, то на обратном пути он сдвинет как раз другую компоненту. Эти обстоятельства диктуют следующее ограничение: между входом фазового модулятора и зеркалом Фарадея должен находиться только один импульс из пары. Таким образом, получается, что время прохода импульсом расстояния от входа фазового модулятора и обратно не должно превышать времени между оптическими импульсами в паре. Если, к примеру, период следования лазерных импульсов  $T_0 = 100$  нс, и при этом после прохождения большего плеча интерферометра Боба второй импульс сдвигается на полпериода, то длина оптоволокну между фазовым модулятором и зеркалом Фарадея не должна превышать 5 метров.

8. От Алисы трейн импульсов направляется по квантовому каналу к Бобу. При этом поляризационные преобразования, которые трейн испытывал по пути к Алисе, компенсируются. В этом заключается преимущество схемы Plug&Play – нет необходимости в постоянной подстройке оптической схемы для компенсации искажений. Но у этой схемы есть и недостатки, например, из-за необходимости проводить передачу трейнами, существенно падает скорость распределения ключа.

9. Поскольку импульсы в трейне, будучи взаимно попарно ортогонально поляризованными, изменили свою поляризацию на противоположную при отражении от зеркала Фарадея, то теперь они проходят каждый по другому плечу интерферометра Боба. Поляризационный светоделитель направляет импульс в длинное плечо, если до этого он прошел по короткому плечу, и наоборот. Если оба фазовых модулятора – Алисы и Боба – не прикладывают сдвига, то на SPD2 реализуется конструктивная интерференция, а на SPD1 – деструктивная. Два базиса обеспечивают секретность передачи ключа. Алиса при помощи фазового модулятора прикладывает четыре фазовых сдвига:  $0$ ,  $\pi/2$ ,  $\pi$  и  $3\pi/2$ . Получается,

что фазовые сдвиги  $0$  и  $\pi$  соответствуют одному базису, например  $\oplus$ , а сдвиги  $\frac{\pi}{2}$  и  $\frac{3\pi}{2}$  соответствуют базису  $\otimes$ . Боб решает в каком базисе проводить измерения, либо не сдвигая фазу (базис  $\oplus$ ), либо сдвигая фазу на  $\frac{\pi}{2}$ , тогда это будет измерение в базисе  $\otimes$ . И Боб и Алиса выбирают базис измерения и базис приготовления совершенно случайно.

### 3.2 Ослабление лазерных импульсов

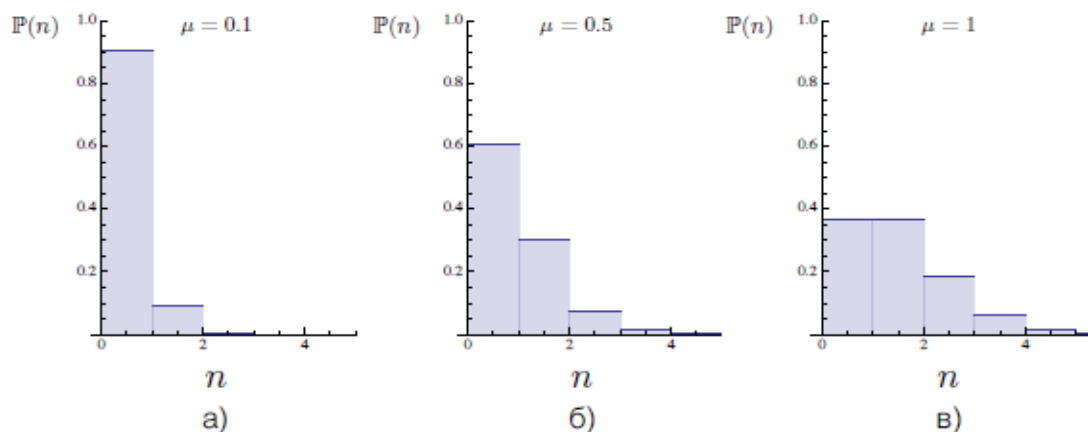
Квантовое распределение ключа, основанное на протоколе BB84, требует, чтобы оптические импульсы были однофотонными. Если импульсы содержат больше одного фотона, то Ева может проводить атаку разделением числа фотонов и ключ будет скомпрометирован. Из-за сложности создания эффективного источника одиночных фотонов, в реальных условиях квантовые состояния не являются однофотонными. Вместо однофотонных состояний на практике используются ослабленные лазерные импульсы, т.е. когерентные состояния со средним числом фотонов  $\mu = 0.1-0.5$  фотона/импульс. При малой интенсивности распределение числа фотонов в импульсе подчиняется статистике Пуассона:

$$\mathbb{P}(n_p, \mu) = \frac{\mu^{n_p}}{n_p!} \exp(-\mu), \quad (4)$$

где  $n_p$  – число фотонов в импульсе. На рисунке 5 представлено распределение числа фотонов для разных значений  $\mu$ .

На рисунке видно, что если у нас в среднем один фотон на импульс, то около 37% импульсов у нас не содержат ни одного фотона, столько же по одному фотону, без малого 20% - два фотона, более 5% - три фотона, и даже у четырёх фотонных импульсов очень заметен вклад. Такое положение вещей совершенно неприемлемо – слишком много импульсов, на которых можно провести атаку расщеплением числа фотонов. Если же использовать импульсы с  $\mu = 0.1$ , то, как видно из графика, число импульсов, содержащих два фотона и больше пренебрежимо мало. Правда за это приходится платить тем, что более 90%

импульсов не содержат ни одного фотона вообще, из-за чего скорость распределения ключа сильно падает.



**Рисунок 5** Статистика Пуассона лазерного излучения: зависимость вероятности числа фотонов  $n$  в импульсе интенсивностью  $\mu$

Лазерные импульсы необходимой мощности получают при помощи переменного оптического аттенюатора (VOA), который ослабляет трейн два раза: на пути туда и обратно. Для того, чтобы установить необходимое ослабление на аттенюаторе, например такое, чтобы от Алисы выходили импульсы в среднем, скажем, 0.1 фотона/импульс, необходимо с помощью измерителя мощности определить мощность лазерных импульсов, выходящих из светоделителя Алисы. Но это измерение осложнено тем, что импульсы изначально слабые, а нам нужны еще сильнее ослабленные импульсы и все это выходит за пределы измерений измерителя мощности. Поэтому надо померить более мощные импульсы, а затем дополнительно ослабить мощность в нужное число раз. Лазерный модуль подключен к циркулятору (C) через аттенюатор (OA) или несколько аттенюаторов. Это сделано для того, чтобы не слепить SPD1 мощным светом, что может даже вывести его из строя. Для ослабления лазерных импульсов можно предложить следующую последовательность действий:

1. Отключить оба детектора одиночных фотонов, для надежности лучше отсоединить оптические разъемы.



**Обязательно отключите детекторы одиночных фотонов SPD, чтобы не вывести их из строя!**

2. Используя источник лазерного излучения измерить коэффициенты затухания в оптических схемах Боба и Алисы. В качестве источника лазерного излучения можно использовать лазер, который установлен в схеме Боба, включённый в режиме непрерывной генерации импульсов. Для расчета коэффициента затухания в оптической схеме используется формула:

$$\alpha_{att} = 10 \cdot \lg \left( \frac{P_{in}}{P_{out}} \right), \quad (5)$$

где  $P_{in}$  – мощность излучения, входящего в оптическую схему,  $P_{out}$  – мощность излучения на выходе.

3. Мощность при которой в импульсе содержится необходимое нам среднее число фотонов  $\mu$ , рассчитывается по формуле

$$P_0 = \frac{c_0 \nu_0 h \mu}{\lambda}, \quad (6)$$

где  $\lambda$  - длина волны лазерного излучения, в нашем случае  $\lambda = 1550$  нм.



Детекторы одиночных фотонов подключаются к оптической схеме после подключения лазерного модуля через аттенюатор!

### 3.3 Возможность использования одного детектора одиночных фотонов

Протокол BB84 позволяет осуществлять квантовое распределение ключа с использованием только одного детектора одиночных фотонов (ДОФ). Для этого Бобу необходимо случайным образом выбирать не только базис измерения, но и то, что он собирается проверить в данном базисе – «0» или «1». Если он угадал и с базисом и с битом, то детектор кликнет. Если не угадал с базисом, то детектор кликнет с вероятностью 50%. Если Боб угадал с базисом, но не угадал с битом, то детектор не кликнет, но такие случаи все равно будут выброшены. Данная логика приведена без учета того, что фотона может не быть, что детектор неидеален, конечно, надо и эти обстоятельства иметь в виду.

В случае схемы “Plug and play” на фазовый модулятор Боба случайным образом подается не два значения напряжения, как в случае работы с одним ДОФ-ом, а также как и у Алисы четыре значения, соответствующих сдвигам по фазе  $0$ ,  $\pi/2$ ,  $\pi$  и  $3\pi/2$ . Для тех событий, в которых Боб зафиксировал клик, он сообщает Алисе по открытому каналу базис измерения: базис I – это сдвиги  $0$  или  $\pi$ , базис II – сдвиги  $\pi/2$  или  $3\pi/2$ . Информацию, какой бит проверялся в данном базисе Боб оставляет в секрете. После этого Алиса и Боб оставляют себе биты в совпадающих базисах и, таким образом, получают просеянный ключ. При распределении ключа с использованием одного ДОФ ключ получается, по крайней мере, в 2 раза короче, чем при использовании двух ДОФ.

Процедуры настройки для работы с одним ДОФ ничем принципиально не отличаются от таковых для двух ДОФ. Единственное отличие – точная настройка временного окна проводится только для одного детектора, например, для SPD1. Для запуска генерации ключа как у Алисы, так и у Боба хостовая программа переводится в режим работы с одним детектором.

## 4. Порядок проведения эксперимента

### 4.1 Настройка времени ожидаемого прихода импульсов на детекторы одиночных фотонов Боба

Включить блоки Алиса, Боб и управляющие ПК. На управляющем ПК Боба запустить файл проекта *Project Bob.lvproj* из состава поставляемого программного обеспечения. В появившемся диалоговом окне (рисунок 6) запустить файл: *\Bob Host Library\Examples\Low Level\rqcBob Channel Test (Low Level Example).vi*.

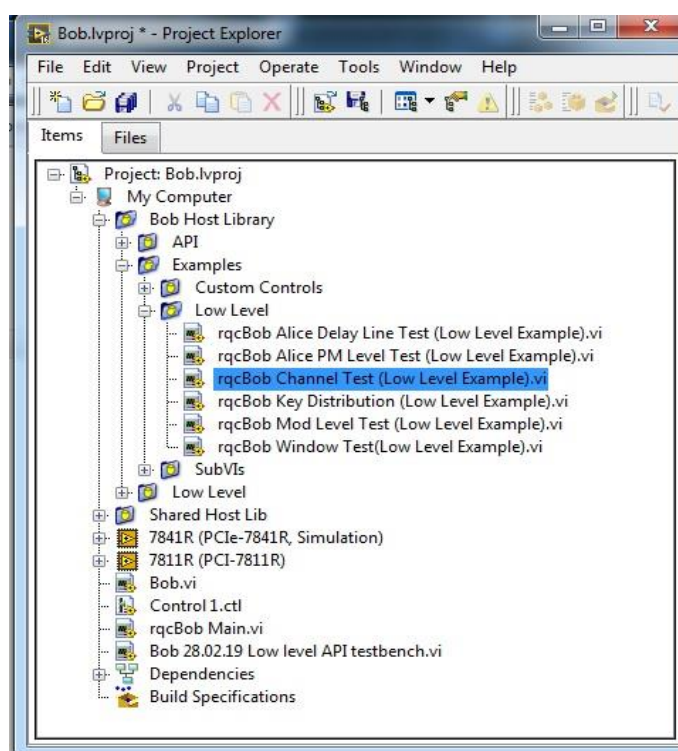


Рисунок 6 Запуск программы *rqcBob Channel Test.vi*

Произвести расчёт периода следования трейна оптических импульсов (для одного импульса в трейне) по формуле

$$T_t = \frac{2(L_{QC} + L_{SL}) \times n_0}{c_0}, \quad (7)$$

где  $L_{QC}$  – длина оптического канала,  $L_{SL}$  – длина накопительной линии,  $n_0$  – коэффициент преломления в оптическом волокне (для длины волны 1550 нм  $n_0 = 1,47$ ),  $c_0$  – скорость света в вакууме.

П р и м е р – Для оптического канала длиной 10 км и накопительной линии 25 км период трейна будет равен

$$T_t = \frac{2 \times (10^4 \text{ м} + 2,5 \times 10^4 \text{ м}) \times 1,47}{3 \times 10^8 \text{ м} / \text{с}} = 3,43 \times 10^{-4} \text{ с} = 343 \text{ мкс}$$

Определить такт в котором импульс возвращается к Бобу разделив полученное значение периода трейна на величину такта (200 нс) и округлить полученное значение до тысяч в большую сторону. Внести полученное значение в поле переменной *train.period* группы параметров *train.configuration* графического интерфейса программы *rqcBob Channel Test* (рисунок 7).

П р и м е р – Для полученного нами ранее значения периода трейна, такт в котором импульс вернётся к «Бобу» будет равен

$$\text{train.period} = \frac{343 \times 10^{-6} \text{ с}}{200 \times 10^{-9} \text{ с}} = 1,715 \times 10^3 = 1715 \rightarrow 2000$$

В остальных полях графического интерфейса программы *rqcBob Channel Test* (рисунок 7) задать следующие параметры:

- *train.num of pulses* – 1 (один импульс в трейне);
- *train.mode* – train;
- *train.num of trains* – 4000 (генерация 4 000 трейнов за сеанс);
- *train.first pulse delay mod* – every train;
- *train.first pulse delay*– 55;
- *modulator.start* – 1500 (такт начала работы модулятора);
- *modulator.stop* – 2000 (такт окончания работы модулятора);
- *window.open* – 0;
- *window.close* – 2000 (значение переменной *train.period*);
- *mod.DAC parameters* – constant;
- *window.close* – 2000 (значение переменной *train.period*);
- *mod.DAC parameters* – constant;
- *mod.DAC levels values* – 150;
- *mod.rnd gen initial seed* – 00000000;
- *mod.clock delay* – constant.

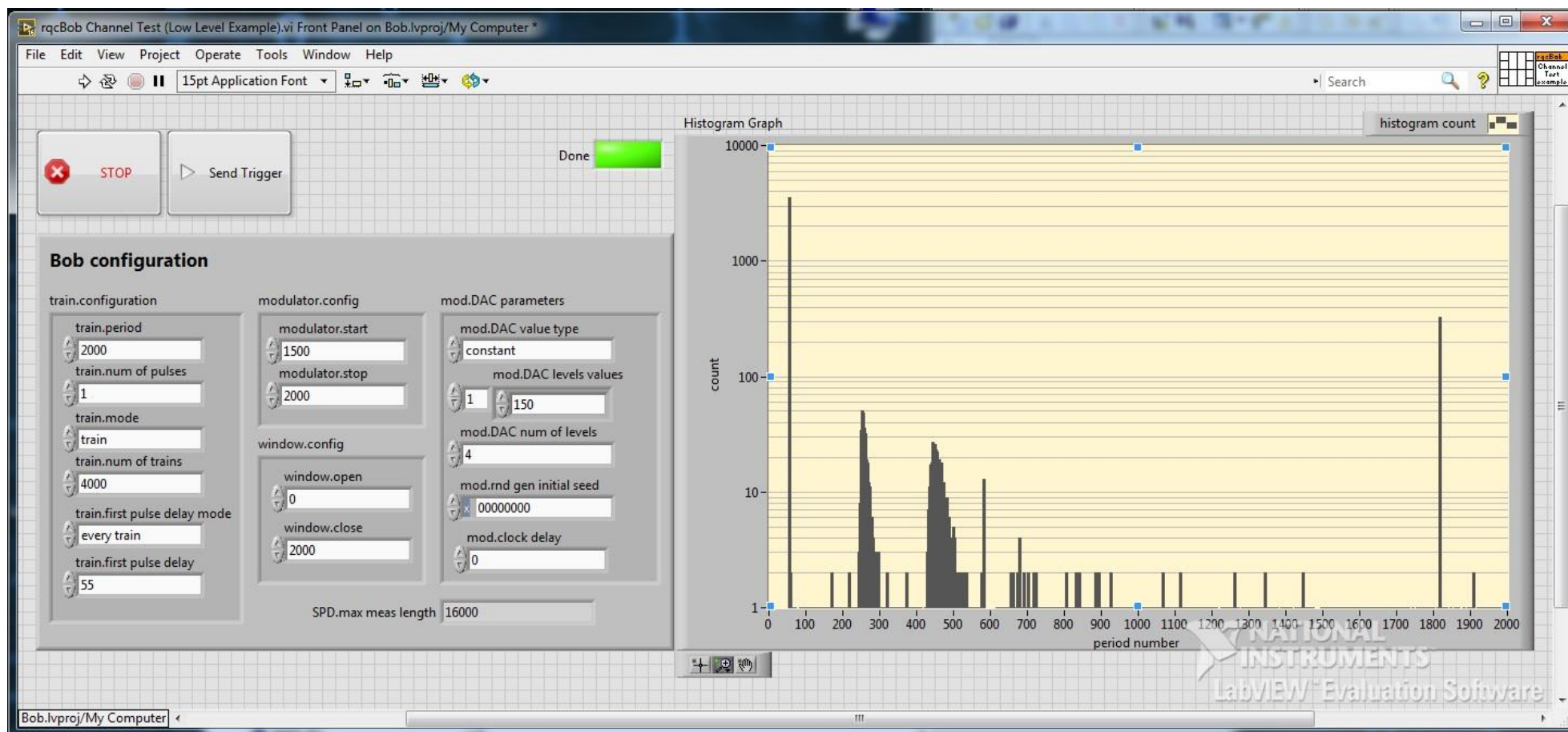


Рисунок 7 Интерфейс программы *rqcBob Channel Testi*

Запустить программу *rqcBob Channel Test* на выполнение, в правой части диалогового окна будет построена диаграмма, на которой по оси абсцисс отражены номера тактов (*period number*), а по оси ординат число срабатываний ДОФ.

Последний импульс с высокой амплитудой на гистограмме – отражение от крайнего элемента в оптической цепи Алисы – зеркала Фарадея.

**П р и м е ч а н и е** – Импульсы на гистограмме могут удваиваться, это происходит по причине регистрации импульсов ДОФ в более мелких временных окнах, чем отображает шкала гистограммы, при этом импульс может быть зарегистрирован в 2 разных окнах.

**П р и м е р** – На рисунке 7 представлен результат работы программы *rqcBob Channel Test*, отражение от зеркала Фарадея в оптической цепи Алисы между тактами 1800 и 1900.

Увеличить масштаб гистограммы для точного определения значения такта отражения от зеркала Фарадея и внести полученное значение в поле *window.open*.

Увеличить число импульсов в трейне (поле *train.num of pulses*) до 20, и вновь запустить программу. Убедиться, что такт отражения первого импульса трейна от зеркала Фарадея остаётся прежним (рисунок 8).

**П р и м е р** – На рисунке 8 отражение первого импульса трейна от зеркала Фарадея в оптической цепи Алисы соответствует такту 1817.

Установить значение поля *train.num of pulses = 1*. Значение поля *window.close* установить равным значению *window.open + 1*, запустить программу на выполнение. Убедиться, что такт отражения от зеркала Фарадея остаётся прежним.

Увеличить значения полей *window.close* и *window.open* на единицу. Запустить программу, убедиться, что регистрация отражения импульсов от зеркала Фарадея не происходит.

Полученное значение *window.open* есть искомый такт ожидаемого прихода импульсов на ДОФ Боба, который следует использовать во всех последующих подпрограммах в поле открытия временного окна *window.open*.

Значение поля *window.close*, определяющего такт закрытия временного окна срабатывания ДОФ после прихода последнего импульса в трейне (при числе

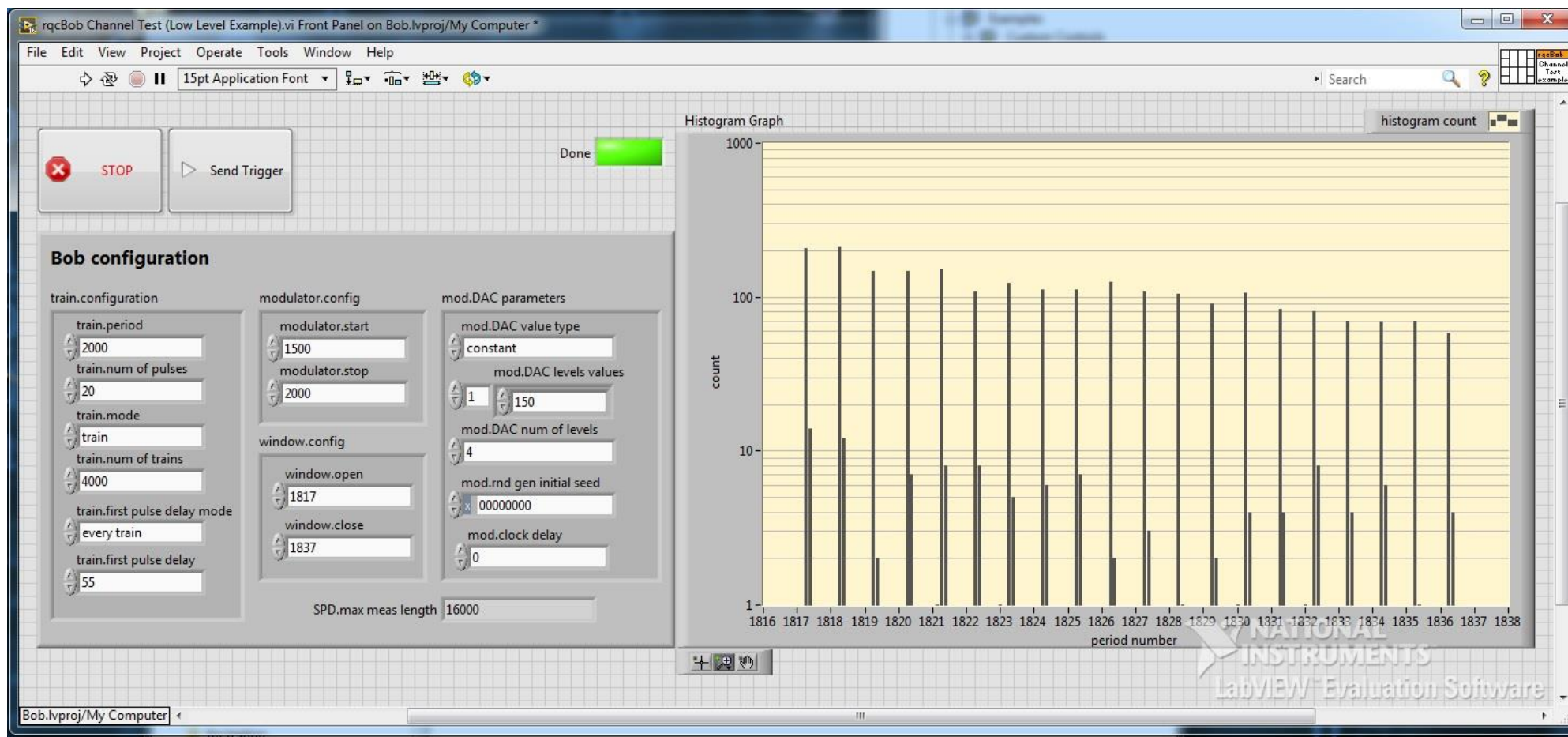


Рисунок 8 Результат работы программы *rqcBob Channel Test*. Отражение первого импульса трейна от зеркала Фарадея в оптической цепи Алисы соответствует такту 1817

импульсов в трейне более единицы), указывается номер такта, полученный суммированием числа импульсов в трейне *train.num of pulses* со значением поля *window.open*.

## 4.2 Настройка напряжения на фазовом модуляторе Боба

На управляющем ПК Боба запустить файл проекта *Project Bob.lvproj* из состава поставляемого программного обеспечения. В появившемся диалоговом окне (рисунок 6) запустить файл: *\Bob Host Library\Examples\Low Level\rqcBob Mod Level Test (Low Level Example).vi*.

В появившемся графическом интерфейсе программы задать рассчитанный ранее в п. 4.1 период трейна (значение поля *train.period*) и полученный такт ожидаемого прихода импульсов на детекторы одиночных фотонов Боба *window.open*. В остальных полях графического интерфейса программы *rqcBob Mod Level Test* (рисунок 9) задать следующие параметры:

- *train.num of pulses* – 20;
- *train.mode* – train;
- *train.num of trains* – 1000 (генерация 1 000 трейнов за сеанс);
- *train.first pulse delay mod* – every train; *train.first pulse delay* – 55;
- *modulator.start* – 1000 (такт начала работы модулятора);
- *modulator.stop* – 2700 (такт окончания работы модулятора);
- *window.close* – 1837 (будет автоматически рассчитано на основе значений переменных *window.open* и *train.num of pulses*);
- *SPD1.detection window* – 0;
- *DAC Level min* – 0;
- *DAC Level max* – 512;
- *DAC interval* – 8;
- *mod.DAC parameters* – constant;
- *mod.DAC levels values* – 512;
- *mod.DAC num of levels* – 0.

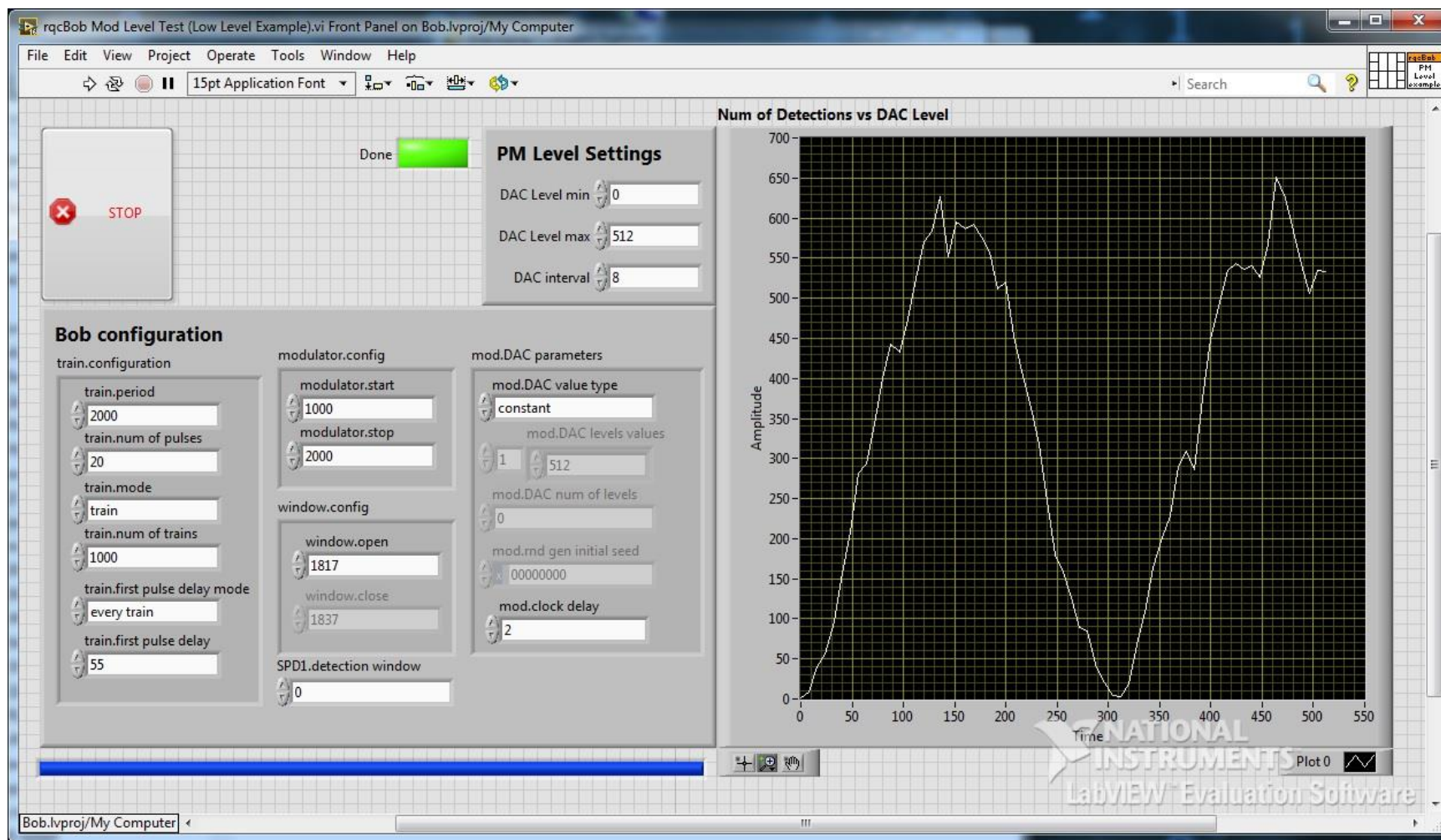


Рисунок 9 Результат работы программы *rqcBob Mod Level1 Test*. Значение *pm.DAC levels values* равно 150 относительных единиц

Запустить программу *rqcBob Mod Levell Test* на выполнение, в правой части диалогового окна будет построена диаграмма, на которой по оси абсцисс в относительных единицах отражена разрядность цифро-аналогового преобразователя драйвера фазового модулятора, а по оси ординат число срабатываний ДОФ.

Определить значение разрядности цифроаналогового модулятора (определяющего величину напряжения на фазовом модуляторе Боба) *mod.DAC levels values* соответствующего сдвигу фазы на  $\pi$ .

Пример – На рисунке 9 представлен результат работы программы *rqcBob Mod Levell Test* значение *mod.DAC levels values* равно 150 относительных единиц.

### 4.3 Точная настройка временного окна детектора одиночных фотонов

На управляющем ПК Алисы в параметрах сетевого интерфейса определить значение IP-адреса, присвоенного ПК Алисы.

На управляющем ПК Боба в диалоговом окне проекта *Bob.lvproj* запустить файл *\Bob Host Library\Examples\Low Level\rqcBob Window Test (Low Level Example).vi*. В появившемся графическом интерфейсе программы (рисунок 10) задать следующие значения параметров:

- Alice's IP address* – IP-адрес управляющего ПК Алисы;
- *port* – 5020 (номер порта процесса-получателя (приёмника));
- *train.period* – 2000;
- *train.num of pulses* – 20;
- *train.mode* – train;
- *rain.num of trains* – 1000;
- *train.first pulse delay mod* – every train;
- *train.first pulse delay* – 55;
- *modulator.start* – 1800 (такт начала работы модулятора);
- *modulator.stop* – 1900 (такт окончания работы модулятора);
- *window.open* – значение полученное в п. 4.1; *mod.DAC value type* – constant;
- *mod.DAC levels values* – 150;
- *mod.rnd gen initial seed* – 00000000; *mod.clock delay* – 0.

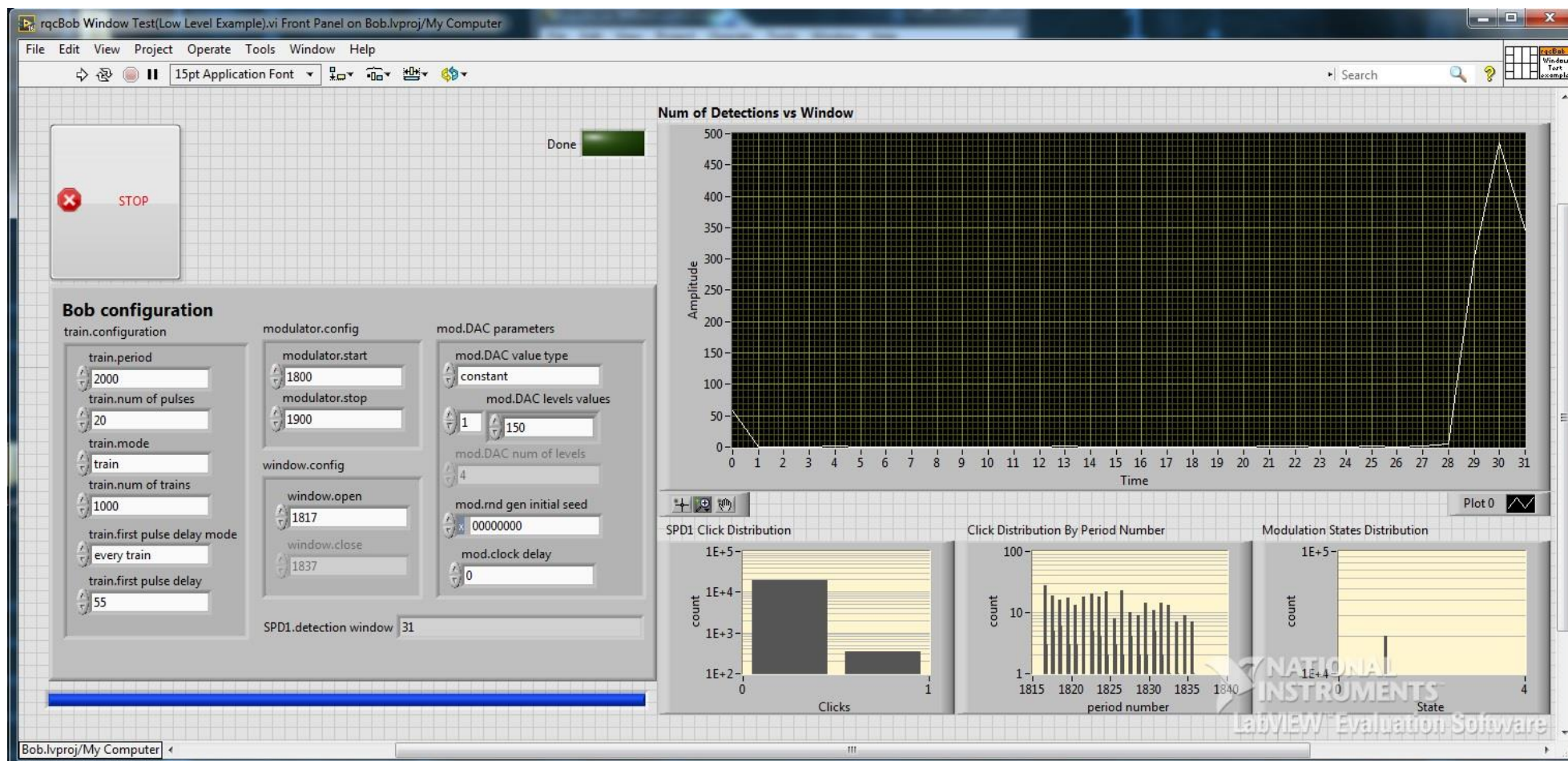


Рисунок 10 Результат работы программы rqcBob Window Test. Номер малого окна срабатывания ДОФ – 30

Запустить программу *rqcBob Window Test* на выполнение, в правой части диалогового окна будет построена диаграмма, на которой по оси абсцисс будут отражены номера малых окон срабатывания ДОФ (от 0 до 39), а по оси ординат число срабатываний ДОФ.

Определить номер малого окна срабатывания ДОФ по максимальному числу срабатываний.

Пример – На рисунке 10 представлен результат работы программы *rqcBob Window Test*, номер малого окна срабатывания ДОФ – 30.

#### 4.4 Настройка величины задержки приложения напряжения на фазовый модулятор Алисы

На управляющем ПК Боба запустить файл *\Bob Host Library\Examples\Low Level\rqcBob Alice Delay Line Test (Low Level Example).vi*. В появившемся графическом интерфейсе программы (рисунок 11) задать следующие значения параметров:

- Alice's IP address* – IP-адрес управляющего ПК Алисы;
- *Port* – 5020 (номер порта процесса-получателя (приёмника));
- *train.period* – 2000;
- *train.num of pulses* – 3 (генерация трёх импульсов в трейне);
- *train.mode* – train;
- *train.num of trains* – 1000;
- *train.first pulse delay mod* – every train;
- *train.first pulse delay* – 55;
- *window.open* – значение полученное в п. 4.1;
- *modulator.start* – 1800 (такт начала работы модулятора);
- *modulator.stop* – 1850 (такт окончания работы модулятора);
- *pm.DAC value type* – constant;
- *pm.DAC levels values* – 0;
- *pm.DAC num of levels* – 0;
- *pm.rnd gen initial seed* – 00000000;

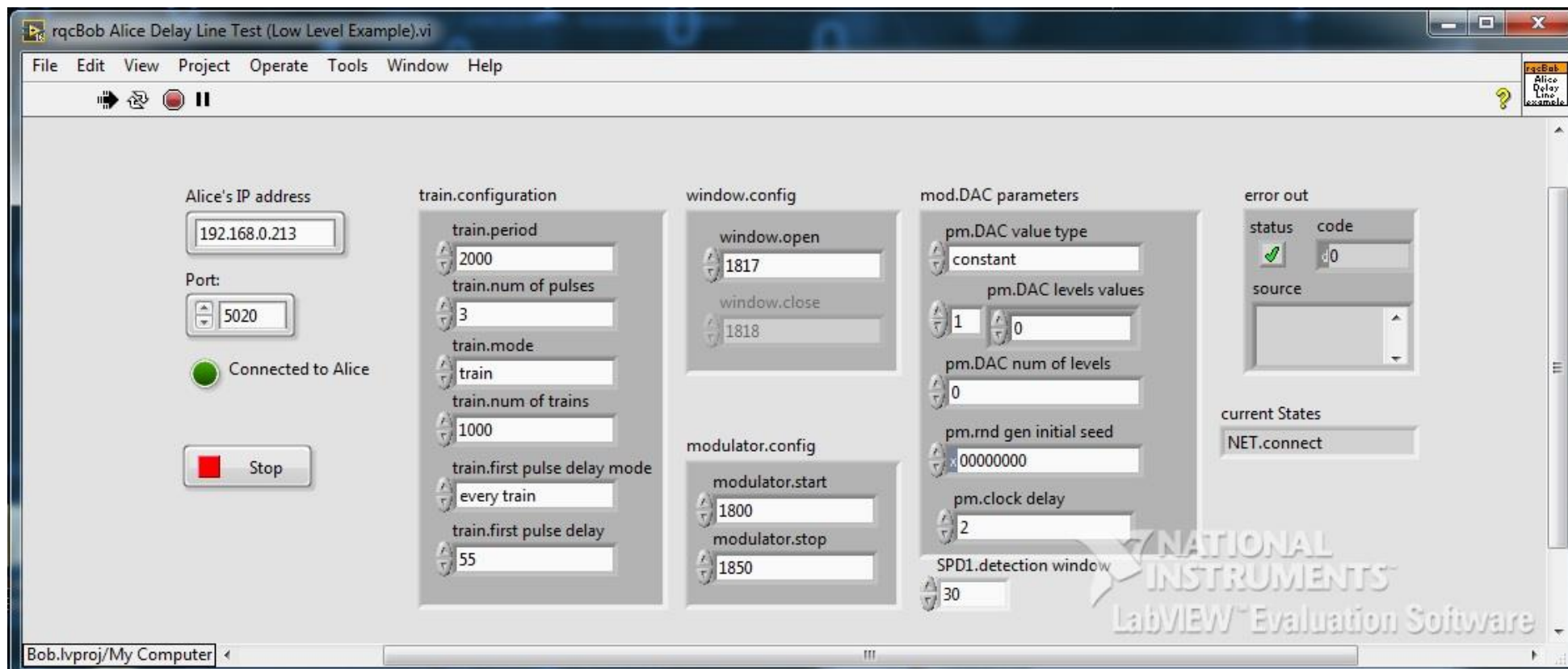


Рисунок 11 Интерфейс программы *rqcBob Alice Delay Line Test*

- *pm.clock delay* – 2;
- *SPD1.detection window* – 30
- *code* (группы *error out*) – 0.

Значение параметра *window.close* –будет автоматически рассчитано на основе значений переменных *window.open* и *train.num of pulses*.

На управляющем ПК Алисы запустить файл проекта *Alice.lvproj* из состава поставляемого программного обеспечения. В появившемся диалоговом окне (рисунок 12) запустить файл: *\Alice Host Library\Examples\Low Level\rqcAlice Delay Line Test (Low Level Example).vi*.

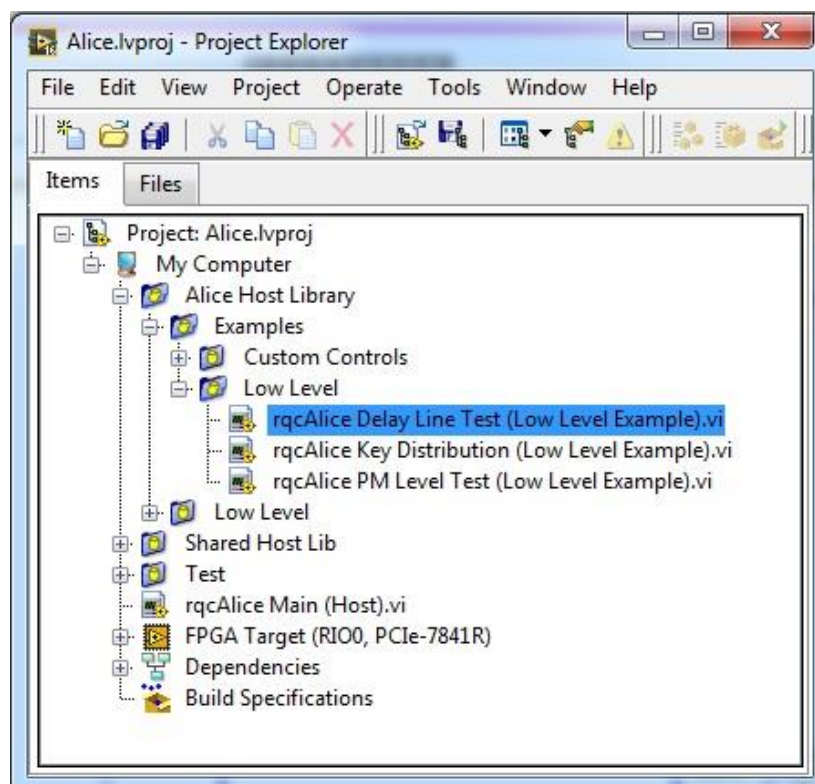


Рисунок 12 Запуск программы *rqcAlice Delay Line Test.vi*

В появившемся графическом интерфейсе программы (рисунок 13) задать следующие значения параметров:

- *port* – 5020 (номер порта процесса-получателя (приёмника));
- *detector pulse width* – 5;
- *DAC clock pulse width* – 5;

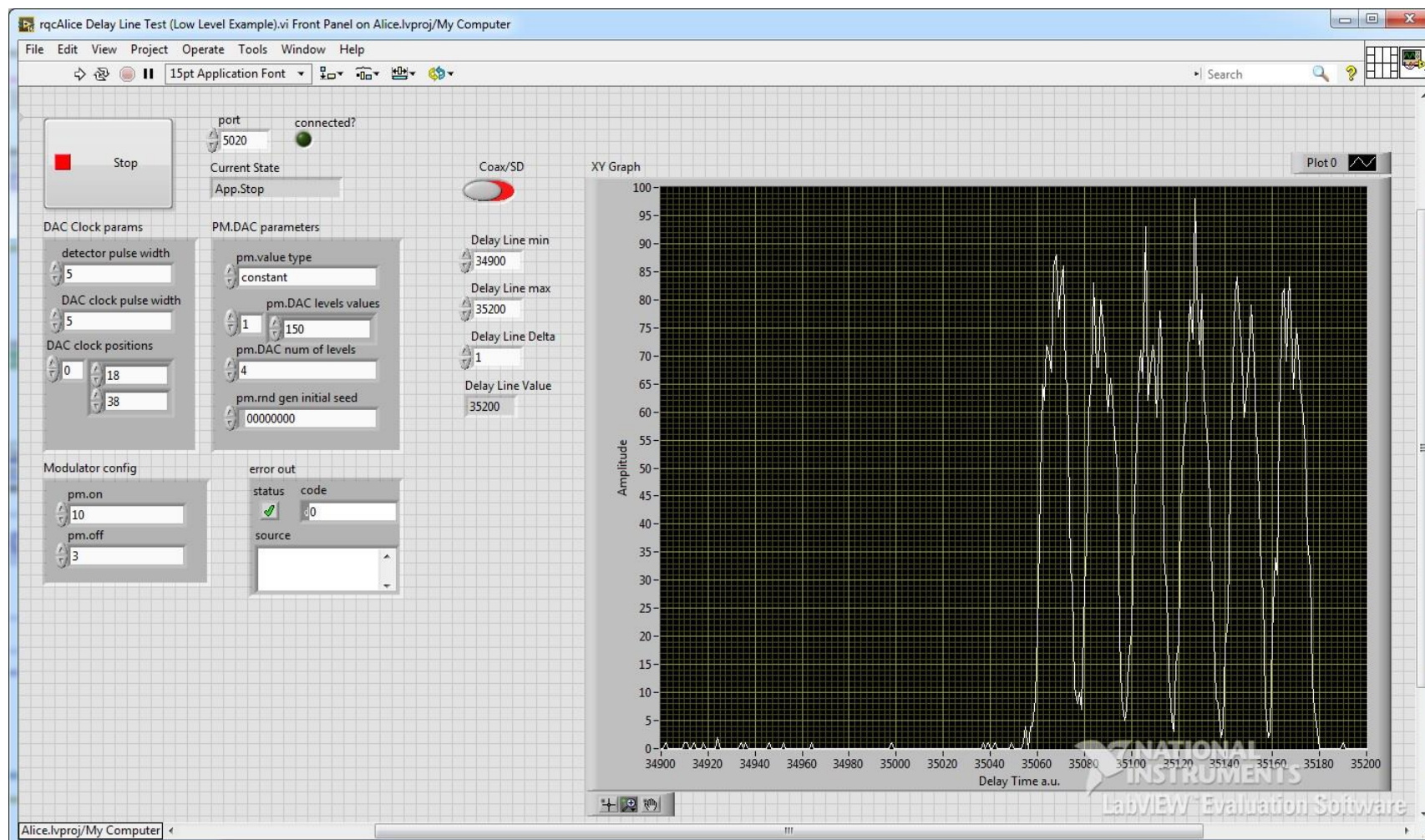


Рисунок 13 Результат работы программы *rqcAlice Delay Line Test*. Величина задержки приложения напряжения на фазовый модулятор «Алисы» – 35170

- *DAC clock positions* – от 18 до 38;
- *pm.value type* – constant;
- *pm.DAC levels values* – 150;
- *pm.DAC num of levels* – 4;
- *pm.rnd gen initial seed* – 00000000;
- *pm.on* – 10;
- *pm.off* – 3;
- *code* (группы *error out*) – 0;
- *Delay Line Delta* – 1.

Значение полей *Delay Line min* и *Delay Line max* определить исходя из расчётного значения длины квантового канала и линии задержки, уменьшив или увеличив его на несколько сот метров.

**Пример** – Для оптического канала и линии задержки длиной 10 и 25 км их совокупная длина составляет 35 км (35 000 м), соответственно значения полей *Delay Line min* и *Delay Line max* может составлять 34 900 и 35 200 м.

На управляющих ПК Боба и Алисы одновременно запустить на выполнение программы *rqcBob Alice Delay Line Test.vi* и *rqcAlice Delay Line Test.vi* соответственно.

В диалоговом окне программы *rqcAlice Delay Line Test.vi* будет построен график зависимости счёта ДОФ Боба от величины задержки приложения напряжения на фазовый модулятор Алисы. На графике число импульсов в трейне будет удвоено по причине прохождения разных плеч интерферометра Боба. Величину задержки определить как центр крайнего правого максимума.

**Пример** – На рисунке 13 представлен результат работы программы *rqcAlice Delay Line Test*, величина задержки – 35170.

#### 4.5 Настройка напряжения на фазовом модуляторе Алисы

На управляющем ПК «Боба» в диалоговом окне проекта *Bob.lvproj* запустить файл *\Bob Host Library\Examples\Low Level\rqcBob Alice PM Level Test (Low Level Example).vi*. В появившемся графическом интерфейсе программы (рисунок 14) задать следующие значения параметров:

– *Alice's IP address* – IP-адрес управляющего ПК «Алисы» (определён ранее в п. 4.3);

- *port* – 5020 (номер порта процесса-получателя (приёмника));
- *train.period* – 2000;
- *train.num of pulses* – 20;
- *train.mode* – train;
- *train.num of trains* – 1000;
- *train.first pulse delay mod* – every train;
- *train.first pulse delay* – 55;
- *window.open* – значение полученное в п. 4.1;
- *pm.DAC num of levels* – 0;
- *pm.rnd gen initial seed* – 00000000;
- *pm.clock delay* – 1;
- *SPD1.detection window* – 30
- *code* (группы *error out*) – 0.

Значение параметра *window.close* –будет автоматически рассчитано на основе значений переменных *window.open* и *train.num of pulses*.

На управляющем ПК Алисы в диалоговом окне проекта *Alice.lvproj* запустить файл: *\Alice Host Library\Examples\Low Level\rqcAlice PM Level Test (Low Level Example).vi*.

В появившемся диалоговом окне программы (рисунок 15) задать следующие значения параметров:

- *port* – 5020 (номер порта процесса-получателя (приёмника));
- *detector pulse width* – 5;
- *DAC clock pulse width* – 5;
- *DAC clock positions* – от 18 до 38;
- *pm.rnd gen initial seed* – 00000000;
- *PM min* – 0;
- *PM max* – 512;
- *PM Delta* – 8;
- *PM Value* – 512;
- *Delay Line* – величина задержки, значение получено в п. 4.4;

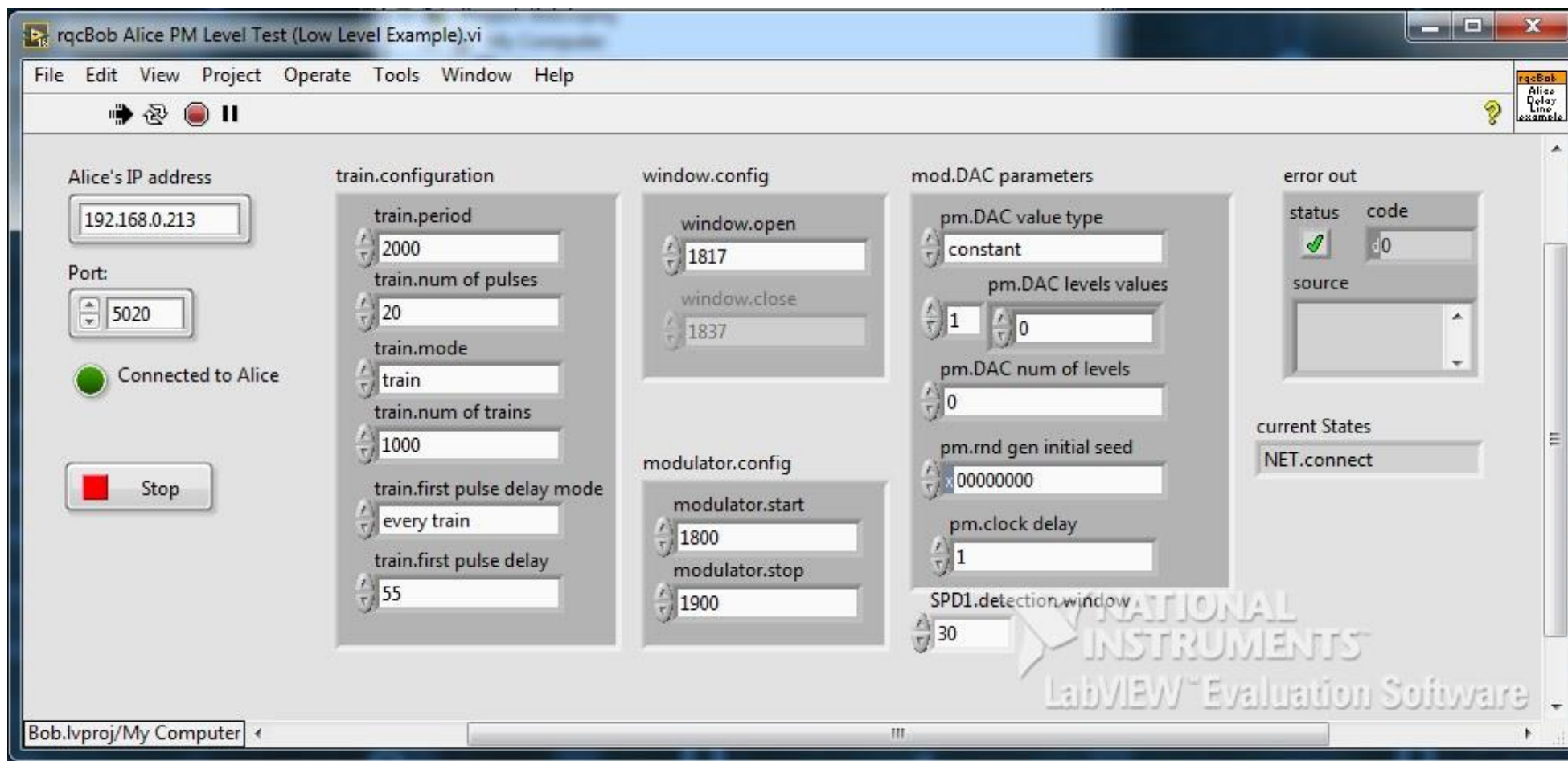


Рисунок 14 Интерфейс программы *rqcBob Alice PM Level Test*

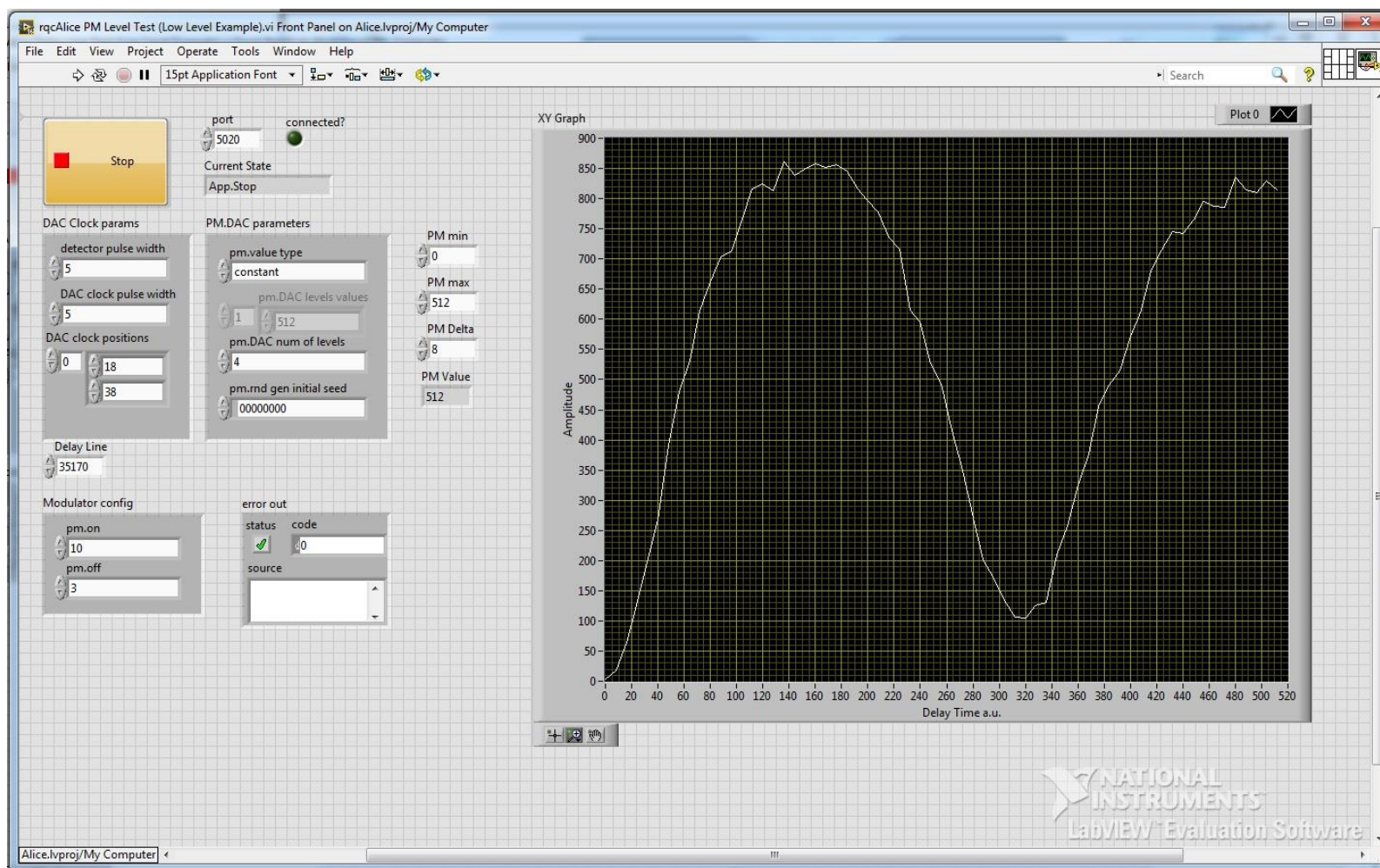


Рисунок 15 Результат работы программы *rqcAlice PM Level Test*. Значение *pm.DAC levels values* равно 160 относительных единиц

- *pm.on* – 10;
- *pm.off* – 3;
- *code* (группы *error out*) – 0.

На управляющих ПК Боба и Алисы одновременно запустить на выполнение программы *rqcBob Alice PM Level Test.vi* и *rqcAlice PM Level Test.vi* соответственно. В диалоговом окне программы *rqcAlice PM Level Test.vi* будет построен график, на котором по оси абсцисс в относительных единицах отражена разрядность цифроаналогового преобразователя драйвера фазового модулятора, а по оси ординат число срабатываний ДОФ.

Определить значение разрядности цифроаналогового модулятора (определяющего величину напряжения на фазовом модуляторе Алисы) *pm.DAC levels values* соответствующего сдвигу фазы на  $\pi$ .

П р и м е р – На рисунке 15 представлен результат работы программы *rqcBob PM Level Test*, значение *pm.DAC levels values* равно 160 относительных единиц.

#### 4.6 Запуск генерации квантового ключа

Ввиду чувствительности оптических элементов схемы к изменению внешних условий, её использование осуществляется непосредственно после процедуры настройки и определения параметров функционирования (п.п. 4.1 – 4.5).

На управляющем ПК Боба в диалоговом окне проекта *Bob.lvproj* запустить файл *\Bob Host Library\Examples\Low Level\rqcBob Key Distribution (Low Level Example).vi*. В появившемся графическом интерфейсе программы (рисунок 16) задать следующие значения параметров:

- *Alice's IP address* – IP-адрес управляющего ПК Алисы (определён в п. 4.3);
- *port* – 5020 (номер порта процесса-получателя (приёмника));
- *pm.DAC value type* – random sequence;
- *pm.DAC levels values* – 75;
- *pm.DAC num of levels* – 4;
- *pm.rnd gen initial seed* – 00000000;
- *pm.clock delay* – 3;
- *window.open* – такт открытия большого окна ДОФ (определён в п. 4.1);

BOB

**Current state:**  
Running FPGA... ■ Stop

**LAN settings:**  
Alice's IP address: 192.168.0.33 Port: 5020 ● Connected to Alice

**Key distillation details:**  
Bob's Filtered items: 3486  
Bob's Right Items received: 1 ● Incorrect Alice's data  
7841/7811  
2-Random (Up)  
4-Random (Down)

**Data exchange details:**  
Total pulses expected: 999000 Real pulse count: 999000  
Errors: No Error

**FPGA settings:**

**Number of pulses**  
Train Period

**Check D1:** 24  
**Check D2:** 0  
**Open Window:** 1817

**Train Number:** 1000  
**Train Period:** 4400

**PM Pi Voltage:** 190  
**WRT:** 0  
**CLK:** 5  
**DAC Level:** 0  
**Start PM:** 1530  
**Stop PM:** 3600  
**PM-D shift:** 3  
**Random On/Off:** ●

**Key length (bits):** 0  
**Key distribution rate (kbps):** 0  
**Bob's Key:**

**Key distribution rate (kbps) graph:**  
Y-axis: Distribution rate, kbps (-1 to 1)  
X-axis: Time (0 to 9)  
The graph shows a flat line at 0 kbps.

Рисунок 16 Интерфейс программы *rqcBob Key Distribution*

- *train.period* – период трейна (определён в п. 4.1);
- *train.num of pulses* – число импульсов в трейне (в диапазоне от 100 до максимально возможного, определённого в п. 4.1);
- *train.mode* – *train sequence.single*;
- *train.num of trains* – число генераций трейнов за сеанс (определяется пользователем);
- *train.first pulse delay mod* – *every train*;
- *train.first pulse delay* – 55;
- *Check D1* – номер малого окна ДОФ (определён в п. 4.3);
- *Pi Voltage* – значение разрядности цифроаналогового модулятора Боба соответствующего сдвигу фазы на  $\pi$  (определён в п. 4.2 *pm.DAC levels values*);
- *Data shift* – 0;
- переключатель *Random On/Off* – в положение *Off*.

На управляющем ПК Алисы в диалоговом окне проекта *Alice.lvproj* запустить файл: *\Alice Host Library\Examples\Low Level\rqcAlice Key Distribution (Low Level Example).vi*. В появившемся графическом интерфейсе программы (рисунок 17) задать следующие значения параметров:

- *port* – 5020 (номер порта процесса-получателя (приёмника));
- *detector pulse width* – 5;
- *DAC clock pulse width* – 5;
- *DAC clock positions* – от 18 до 38;
- *pm.value type* – *random value*;
- *pm.DAC levels values* – 75;
- *pm.rnd gen initial seed* – 00000000;
- *pm.on* – 9;
- *pm.off* – 2;
- *Pulses in Train* – аналогично значению *train.num of pulses* установленному в программе *rqcBob Key Distribution.vi* управляющего ПК Боба;
- *Train Number* – аналогично значению *train.num of trains* установленному в программе *rqcBob Key Distribution.vi* управляющего ПК Боба;
- *Delay Line* – величины задержки приложения напряжения на фазовый модулятор Алисы (определён в п. 4.4);

**Current state:**  
Running FPGA... Stop

**LAN settings:**  
IP address: 192.168.0.92 Port: 5020 Bob is connected

**Key sifting details:**  
Bob's Filtered Items received: 1979 Right Bob's items sent: 952 Incorrect Bob's data

**Data exchange details:**  
Total pulses expected: 999000 Real pulse count: 999000 Data loss detected

**Errors:**  
No Error

**FPGA settings:**  
Number of pulses in train: 999 Train Number: 1000  
Train Period:  $T_{pulse}$   $T_{off}$   
QC BS VOA SD SL PM FM  
Pi Voltage: 110 PM Data on: 10 PM Data off: 3  
DL SPI: 35175  
PM DAC Level: 0  
PM Random On/Off: On

**QBER:**  
QBER, %: 2,86017

**Key length:**  
Key length (bits): 944  
Output file size, MB: 43,3688

**Alice's Key:**  
1101000010110001100001111010011001100101010001100101111001011100000010010000101101111001010001110  
11101101011100110111001010010100000100011011000101110011000111101111011110100000001001011000  
0010101001111011001011100010001110010010110110000000000001011011010110011010010000110100010  
0100010100001111000001111000110011111101001000100100111111011010111001100010000100011011110  
011100011110110011101010001110101100111101010001101101110110110011100110010000001010000  
0111000100100011011101101010011101101011110010011111100001010010111001111101101010110  
1101110001000011101000000100011101000010110001110001001011011001000001111000001100100101000  
110000000010011110001011101000101011110100100101111001001101101101010010011001101010010011000000  
011100101001001101011100110111010011101000110000010100011100110111100111100111100111001100011000  
11001101000011000100010100100011100001110000100101010000010111011100100

**Bob's Key:**  
1101000010110001100101111010011001100101010001100101110010011000000100110010101111001010001100  
1110110101110011011001010010100001000110110001011101100011100100111011110100000001001011000  
0010110100111011001010110001010011100100101011000001001001101100000100100101010000010100010  
01000101000010110000011101001100111110100000010010100111110110101110011000101000100010101110  
01110000111101100111011010001110101001110101000110101110101011001110011010000001010000  
011000010010001101101110101001011101011110010011111000010110011001111101001010110  
1101110001000011101000000010001110100001011000100101100100100000011110000100100101011000  
1100000000100111100011011101000101011110100101011101001001101110010100110111001010010011000000  
011100101001001101011100110010111010011001000100000101000111001101111001111001110011000100011000  
11001101000011000100010100100011100001110000100101010000010111011100100

Рисунок 17 Интерфейс программы rqcAlice Key Distribution

– *Pi Voltage* – значение разрядности цифроаналогового модулятора Алисы соответствующего сдвигу фазы на  $\pi$  (определён в п. 4.2 *pm.DAC levels values*);

– переключатель *Random On/Off* – в положение *Off*.

На управляющих ПК Боба и Алисы одновременно запустить на выполнение программы *rqcBob Key Distribution.vi* и *rqcAlice Key Distribution.vi* соответственно, в диалоговых окнах программ будет отображаться процесс генерации последовательности данных, и её длина.

Для получения последовательности данных максимальной длины настроить номер малого окна ДОФ в программе *rqcBob Key Distribution.vi*, увеличив или уменьшив значение поля *Check D1*.

В случае отсутствия генерации последовательности данных повторить процедуру настройки и определения параметров функционирования оптической схемы (п.п. 4.1 – 4.5).

## 5 Контрольные вопросы и задания

1. Пусть Ева перехватывает фотоны Алисы и измеряет их в каноническом или диагональном базисе, выбирая случайно. Потом она приготавливает фотон в состоянии, полученном при измерении, и отправляет его Бобу. Какую ошибку обнаружат Алиса и Боб, т.е. какая часть бит их секретных ключах в среднем получится разная?

2. Большое количество фотонов, отправленных Алисой, не доходят до Боба. Но Алиса и Боб не знают потерялись ли фотоны из-за рассеяния в линии или были украдены Евой. Влияет ли это обстоятельство на секретность квантового распределения ключа?

3. Длина накопительной линии в схеме Plug&Play составляет 25 км. Лазерные импульсы следуют с частотой 5МГц. Найдите максимальное значение лазерных импульсов в трейне.

4. Найдите период трейна для квантового канала и накопительной линии по 25 км. Частота следования лазерных импульсов – 5МГц. Количество импульсов в трейне возьмите из предыдущей задачи.

5. Количество фотонов в лазерном импульсе зависит от (выберите правильный ответ):

- а) энергии импульса;
- б) энергии и ширины импульса;
- в) энергии, ширины и формы импульса;
- г) энергии, ширины, формы и поляризации импульса;

6. Лазер генерирует импульсы с длиной волны 1,55 мкм и с частотой следования 5 МГц. Импульсы содержат по 0,1 фотону в среднем. Найдите мощность излучаемого света.

7. Алиса посылает фотоны Бобу, по оптоволоконному каналу длиной 100 км. Потери в оптоволокне – 0,3 дБ/км. Какая часть фотонов, посланных Алисой, достигнет Боба?

8. Чтобы шифровать на лету голос человека методом одноразовых блокнотов нужен ключ, генерируемый со скоростью 5 кбит/с. Пусть лазерные импульсы, следующие с частотой 1 ГГц, содержат 0,1 фотон на импульс; потери в канале 0,3 дБ/км; эффективность детекторов – 10%. Найдите максимальное

расстояние квантового распределения ключа по протоколу BB84 для шифрования голоса. Пренебрегите темновым счетом детекторов и возможными атаками Евы с разделением числа фотонов.

## Литература

1. Gisin N. et al. Quantum cryptography // Rev. Mod. Phys. 2002. Vol. 74. P. 145–195.
2. The Physics of Quantum Information: Quantum Cryptography, Quantum Teleportation, Quantum Computation / ed. Bouwmeester D., Ekert A.K., Zeilinger A. Springer, 2000. 315 p.
3. Bennett C.H., Brassard G. Quantum cryptography: Public key distribution and coin tossing // IEEE Int. Conf. on Comput. Sys. and Sign. Proces., Bangalore, India, December 1984. 1984. P. 175–179.

